

پترولوزی و ژئوشیمی سنگ‌های آذرین موجود در سازند قرمز زیرین، منطقه گرمسار

حبيب الله قاسمي^(۱)* و محمد برهمند^(۲)

۱. دانشیار گروه زمین‌شناسی، دانشکده علوم زمین، دانشگاه صنعتی شهرورد
۲. کارشناس ارشد پترولوزی، گروه زمین‌شناسی دانشکده علوم زمین، دانشگاه صنعتی شهرورد

تاریخ دریافت: ۹۰/۱۲/۲۷

تاریخ پذیرش: ۹۱/۷/۲۶

چکیده

در داخل سازند قرمز زیرین در منطقه گرمسار، توده‌های بازیک نیمه عمیق متعددی بروند دارند. این توده‌ها دارای ترکیبات گابریوی تا دیوریتی بوده و بافت‌های گرانولار، ایترگرانولار، افیتیک و ساب افیتیک دارند. کانی‌های اصلی این سنگ‌ها را پلاژیوکلاز، کلینوپیروکسن اوریتی، آمفیبول و بیوتیت و کانی‌های فرعی و عارضه‌ای آن‌ها را الیوین، فلوگوپیت، آلكالی‌فلدسبار، آپاتیت، مگنتیت و اسفن تشکیل می‌دهند. از کانی‌های ثانویه آن‌ها نیز می‌توان به سرپاپاتین، زئولیت، کلریت، سریسیت، پرهنیت، اسفن، اورالیت، کوارتز و کلسیت اشاره کرد.

این سنگ‌ها در نمودارهای رده‌بندی شیمیایی در قلمرو گابرو - دیوریت و سری آلکالن قرار می‌گیرند. روندهای ژئوشیمیایی نمونه‌ها در نمودارهای تغییرات عناصر اصلی و کمیاب در مقابل ضربت تفریق و نمودارهای عناصر ناسازگار - ناسازگار و ناسازگار - سازگار، بیان گر ارتباط تفریقی بین نمونه‌هاست. در نمودارهای بهنجار شده به کندریت و گوشه‌های اولیه، غنی‌شدگی از LILEs و LREEs، تهی‌شدگی از HREEs، نبود نابهنهنجاری Eu، وجود نابهنهنجاری مثبت در عناصر K, Sr, Rb, Ba, در همه نمونه‌ها و تهی‌شدگی شدید برخی نمونه‌ها از Nb و Ta و فقدان تهی‌شدگی آن‌ها از Ti و P از ویژگی‌های بازز این سنگ‌هاست. این امر بیان گر آلایش پوسته‌ای ماقمای مافیک گوشه‌های سازنده این سنگ‌هاست. این سنگ‌ها فاقد ویژگی‌های ساخته سنگ‌های وابسته به فروراش بوده و بیشتر خصوصیات ماقمای بازالتی آلکالن محیط‌های پشت کمانی (BAB) اولیه را نشان می‌دهند. نمودارهای مختلف تعیین محیط تکتونوماگمایی نیز وابستگی آن‌ها به بازالت‌های پشت کمانی را تأیید می‌کنند. به نظر می‌رسد که ماقمای بازیک اصلی و اولیه این سنگ‌ها، در یک محیط کششی پشت کمانی اولیه و از ذوب بخشی یک منبع گوشه‌ای غنی‌شده، در زیر لیتوسفر قاره‌ای ایران مرکزی در زمان الیگوسن پسین به وجود آمده و در بخش پایین سازند قرمز زیرین نفوذ کرده باشد.

واژه‌های کلیدی: پترولوزی، ژئوشیمی، حوضه کششی پشت کمان اولیه، سازند قرمز زیرین، گرمسار.

و در حدفاصل بین دو زون زمین‌ساختی ایران مرکزی و البرز قرار دارد (شکل ۱). محققین مختلفی از جمله بربریان و یاسینی (۱۹۸۳)، Jackson et al. (1990)، Jackson et al. (2008)، Kazmin and Tikhonova (2008)، Reuter et al. (2007)، Verdale (2009)، Bin and Meiyin

مقدمه

منطقه مورد مطالعه، بخشی از نقشه زمین‌شناسی ۱:۱۰۰۰۰۰ گرمسار (امینی و رشید، ۱۳۸۳) است که در مختصات جغرافیایی $۵۲^{\circ} ۰۰' \text{ تا } ۵۲^{\circ} ۲۰'$ طول شرقی و $۳۵^{\circ} ۱۰' \text{ تا } ۳۵^{\circ} ۳۵'$ عرض شمالی، در ۱۵ کیلومتری غرب و شمال غرب شهرستان گرمسار

* نویسنده مرتبط h-ghasemi@shahroodut.ac.ir

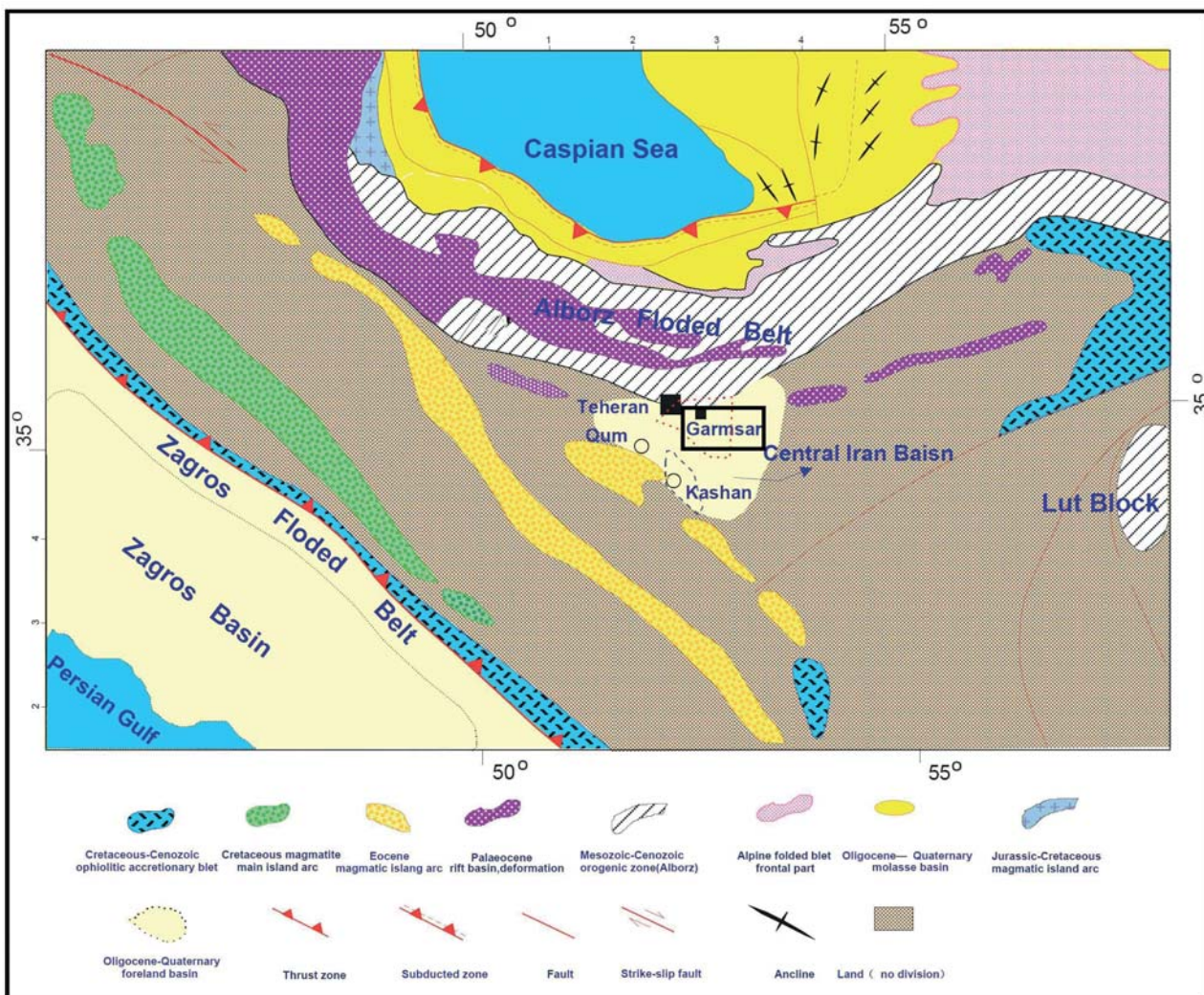
قرمز فوقانی رسوب‌گذاری کرده است. به نظر علیجانی (۱۳۷۸)، سازند قرمز زیرین در یک کرانه دریایی حاشیه‌ای کم عمق (با عمق حدود ۲۰ متر) و با ابعاد حوضه‌ای وسیع تشکیل شده و فرونشست حوضه، هم‌زمان با نهشته شدن تبخیری‌ها، منجر به انباسته شدن حجم عظیمی از رسوبات بر روی یکدیگر شده است.

زمین‌شناسی و سنگ‌شناسی

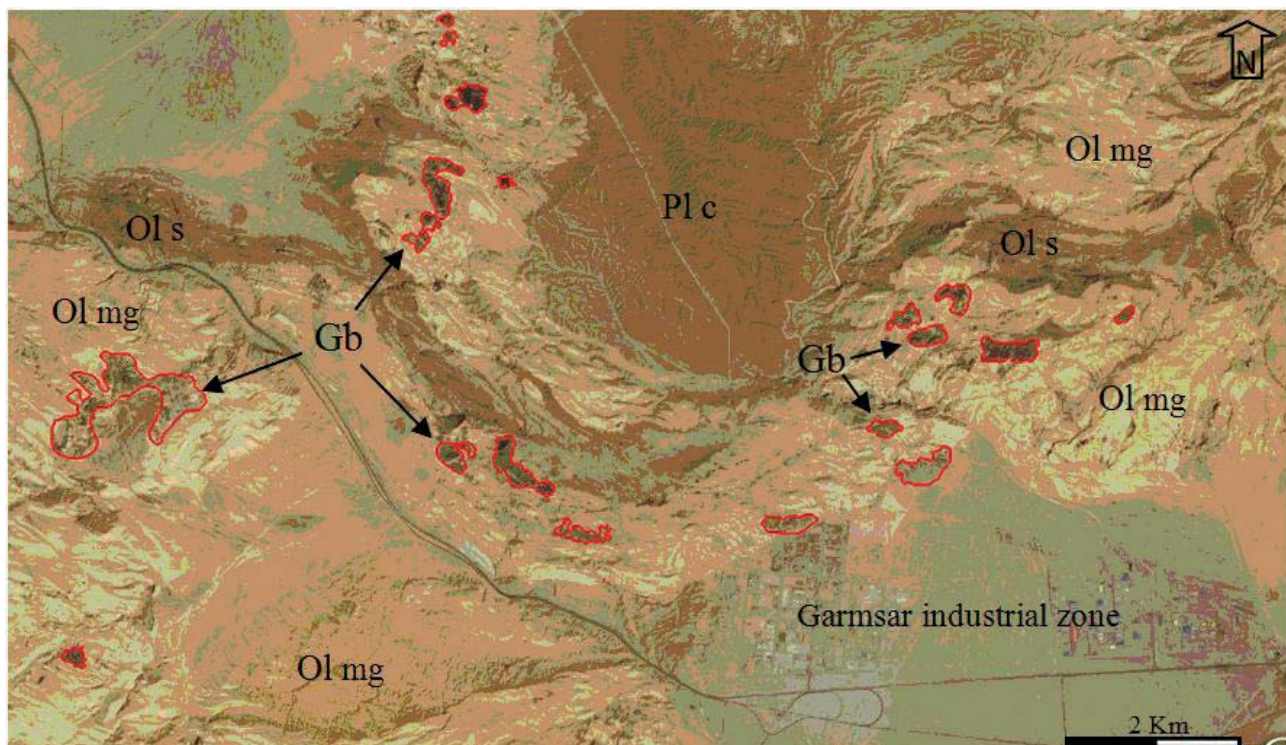
مجموعه‌های آذرین نیمه‌عمیق این منطقه شامل توode‌های متعدد گابریی و دیوریتی هستند که به صورت سیل، دایک و استوک‌های کوچک (شکل‌های ۱ و ۳-الف و ب)، به درون واحد مارنی - ژپسی (Olmg) سازند قرمز زیرین در عمق کم نفوذ کرده و به دلیل ماهیت خشک، عمق کم تزریق، حجم کوچک توode‌ها و سردشدن سریع آن‌ها، صرفاً سبب پختگی در سنگ‌های میزان شده‌اند، اما در واحدهای بالاتر از جمله سازند قم دیده نمی‌شوند. بنابراین، سن تزریق این توode‌ها را می‌توان به الیگوسن میانی - پسین نسبت داد (برهمند، ۱۳۸۹). در تحقیقات پیشین، این

(2010) و برهمند (۱۳۸۹) جایگاه زمین‌ساختی حوضه گرمسار را یک محیط کششی پشت کمانی اولیه نابالغ در زمان الیگوسن - میوسن، در پشت کمان ماقمایی اصلی ارومیه - دختر درنظر گرفته‌اند.

سازند قرمز زیرین در منطقه گرمسار شامل توالی ضخیمی از کنگلومرا، ماسه‌سنگ، سیلتستون و مارن‌های ژپسی‌دار قرمز رنگ، به همراه لایه‌های نمکی می‌باشد که در آن یک سری توode‌های آذرین بازیک - حد بواسطه نفوذ کرده‌اند (شکل ۲). بربریان و یاسینی (۱۹۸۳)، جایگاه زمین‌ساختی گستره تبخیری شمال و غرب گرمسار را یک فروزمنی واقع در حاشیه شمالی حوضه پشت کمانی ایران مرکزی در نظر گرفته‌اند. به اعتقاد اسدیان و همکاران (۱۳۸۶)، این فروزمنی شرقی - غربی، در امتداد بخشی از مرز البرز جنوبی با ایران مرکزی (ایوانکی تا سرخه)، قابلیت فرونشست تدریجی و فعالیت‌های آذرین آکالان داشته است. این وضعیت تا رسوب‌گذاری سازند قم ادامه یافته، اما به دنبال پسروی دریایی قم و برقراری رژیم فشارشی در حوضه پشت کمانی ایران مرکزی، به تدریج شرایط قاره‌ای حاکم گشته و سازند



شکل ۱. موقعیت منطقه گرمسار در بخشی از نقشه زمین‌ساختی ایران (Bin and Meiyan 2010).



شکل ۲. تصویر ماهواره‌ای بخشی از منطقه مورد مطالعه در شمال و غرب شهرک صنعتی گرمسار. Gb = گابرودیوریت‌های الیگوسن که با رنگ تیره در داخل مارن‌ها مشخص هستند، Ol s = ماسه‌سنگ‌های الیگوسن و Plc = کنگلومراي پليوسن.

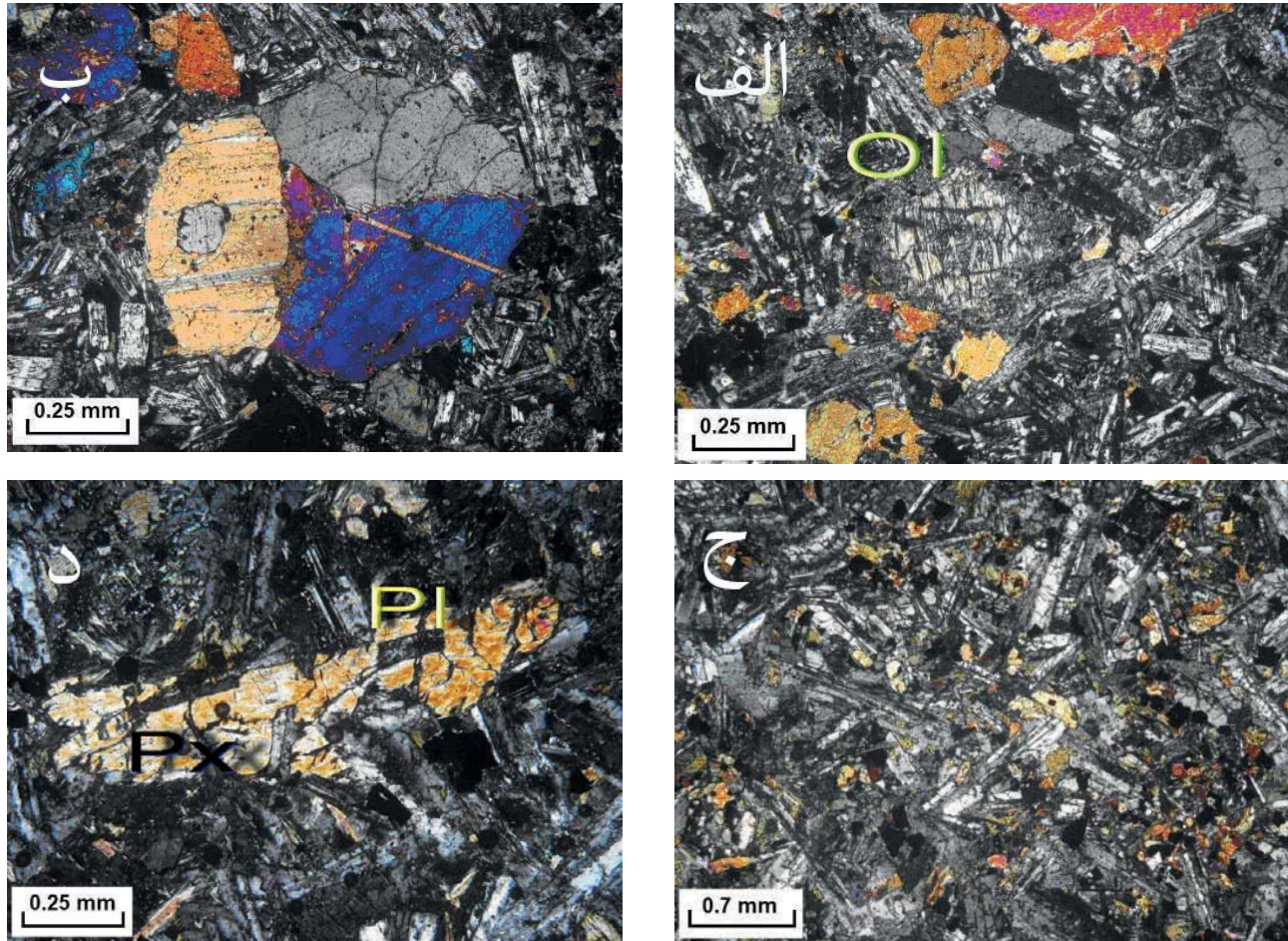
و کانی‌های فرعی و عارضه‌ای آن‌ها نیز شامل، الیوین، فلوگوییت، آپاتیت و مگنتیت می‌باشند. از کانی‌های ثانویه آن‌ها می‌توان به سرپاتینین، زئولیت، کلریت و سریسیت اشاره کرد. دیوریت‌ها از نظر بافتی متنوع‌ترند و در آن‌ها بافت‌های گرانولار، ایترگرانولار، ساب افیتیک و افیتیک مشاهده می‌شود. کانی‌های اصلی و فرعی دیوریت‌ها شامل پلازیوکلاز، پیروکسن اوژیتی، بیوتیت، آمفیبول، فلدسپارپیتانیم، آپاتیت، مگنتیت و اسفن می‌باشند. همچنین، کانی‌های ثانویه این سنگ‌ها را کلریت، پرهنیت، اسفن، اورالیت، کوارتز و کلسیت تشکیل می‌دهند (شکل ۴).



شکل ۳. الف) نمایی از یک استوک کوچک گابرودیوریتی در داخل سازند قرمز زیرین در شمال شهرک صنعتی فجر گرمسار. ب) نمای نزدیک از مرز نفوذی یک توده گابرودیوریتی با سازند قرمز زیرین و پختگی گچ‌ها در محل تماس.

سنگ‌های نیمه‌نفوذی را شهریاری و همکاران (۱۳۷۸)، صفائی (۱۳۷۹) و امینی و رسید (۱۳۸۳) تحت عنوانین آلکالی بازالت، میکروآلکالی بازالت و دیاباز، به صورت آتشفسانی‌های زیردریایی و دایک معرفی کرده‌اند، اما مشاهدات صحرایی و بررسی‌های پتروگرافی نشان می‌دهند که توده‌های مذکور عمده‌اً از نوع نفوذی‌های گابرودی - دیوریتی بوده و آتشفسانی نیستند. از لحظ پتروگرافی، گابرودیوریتی دارای میکروگرانولار-گرانولار، پورفیروئیدی و ایترگرانولار هستند. کانی‌های اصلی تشکیل دهنده این سنگ‌ها شامل پلازیوکلاز و پیروکسن اوژیتی





شکل ۴. بافت‌ها و کانی‌های تشکیل دهنده سنگ‌های گابرو/دیوریتی منطقه گرم‌سار، الف) بافت ایترگرانولار به همراه بلور الیوین دگرسان شده به سرپانتین در گابروها (نور XPL). ب) بافت پورفیروئید - ایترگرانولار متشکل از بلورهای درشت و ریز پلاژیوکلاز و کلینوپیروکسن اوژیتی در سنگ‌های گابرویی منطقه، نور XPL. ج) بافت ایترگرانولار ناشی از قرار گیری بلورهای ریز کلینوپیروکسن در بین بلورهای پلاژیوکلاز در دیوریت‌ها (نور XPL). د) بافت ساب افیتیک متشکل از پلاژیوکلاز و کلینوپیروکسن اوژیتی در سنگ‌های دیوریتی منطقه (نور XPL).

است (Thornton and Tattle, 1960). در تمامی این نمودارها، بین نمونه‌های گابرو/دیوریتی یک روند خطی منطبق بر خط نزول مایع وجود دارد که بیان گر انجام تبلور تفریقی در یک ماقمای والد گابرویی است. بر این اساس، با افزایش ضریب تفریق، مقادیر Fe_2O_3 , SiO_2 (آهن کل) $\text{Na}_2\text{O} + \text{K}_2\text{O}$, Ba , Sr , Ce و Zr افزایش و مقادیر CaO , Cr , V , Ni , MgO , Al_2O_3 و Co باقیمانده نظر به‌این که در جریان فرایند تبلور تفریقی، مقادیر عناصر ناسازگار و نسبت آن‌ها به انواع سازگار، در مذاب باقیمانده افزایش و بر عکس مقادیر عناصر سازگار کاهش می‌یابند، لذا از این نوع نمودارها نیز برای تأیید منشأ تفریقی نمونه‌ها استفاده شده است. به اعتقاد Rogers et al. (1984)، روندهای خطی افزایش در نمودارهای عناصر ناسازگار - ناسازگار که از مبدأ نمودار می‌گذرند و روندهای خطی کاهشی در انواع ناسازگار - سازگار، از مشخصات بارز دخالت فرایند تبلور تفریقی در تحول سنگ‌های ماقمایی است (شکل ۸).

در نمودار بهنچار شده به کندریت عناصر نادر خاکی (Boyn, 1984) می‌توان مشاهده کرد: (الف) کلیه نمونه‌های مورد

ژئوشیمی

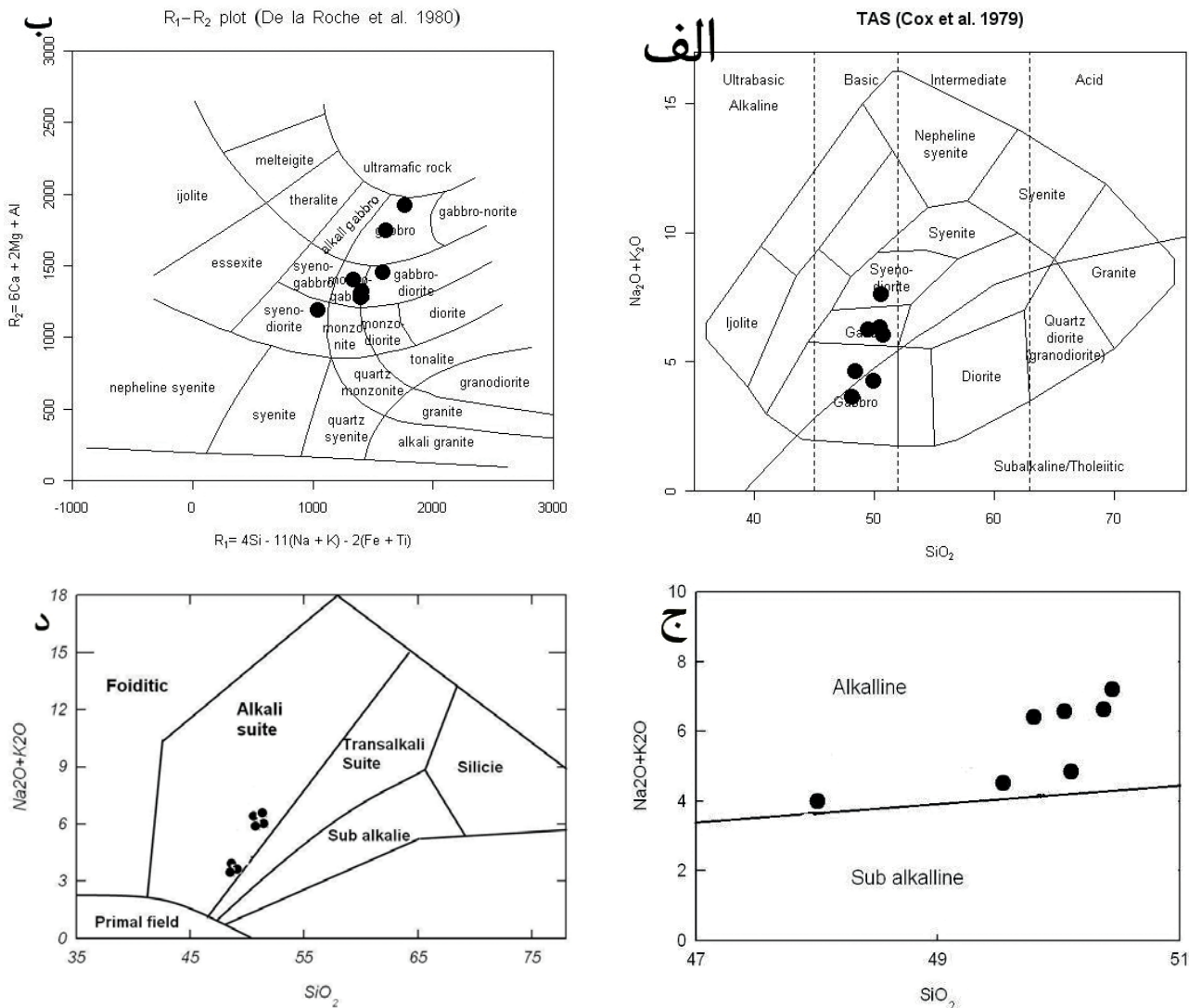
در این پژوهش به منظور بررسی ویژگی‌های ژئوشیمیایی سنگ‌های مورد مطالعه، تعداد ۷ نمونه از این سنگ‌ها، در آزمایشگاه ALS Chemex کانادا، به روش بسته ترکیبی با کد CCP-PKG01 متشکل از روش ICP-AES برای عناصر اصلی و فلزات پایه و روش ICP-MS برای عناصر نادر خاکی و ناسازگار آنالیز شدند (جدول ۱).

سنگ‌های آذرین نفوذی منطقه گرم‌سار در نمودار ردمبندی شیمیایی Cox et al. (1979) در محدوده گابرو تا سینودیوریت (شکل ۵-الف) و در نمودار ردمبندی کاتیونی De la Roche (1980) در قلمرو گابرو، گابرو/دیوریت تا سینودیوریت (شکل ۵-ب) و در نمودارهای تعیین سری ماقمایی Irvine and Baragar (1971) (شکل ۵-ج) و Middlemost (1994) (شکل ۵-د) در محدوده سری آلکالن قرار می‌گیرند.

به منظور بررسی روند تغییرات ژئوشیمیایی سنگ‌های آذرین منطقه، از نمودارهای فراوانی اکسیدهای عناصر اصلی (شکل ۶) و مقادیر عناصر نادر (شکل ۷) در برابر ضریب تفریق استفاده شده

جدول ۱ نتایج تجزیه شیمیابی عناصر اصلی، کمیاب و کمیاب خاکی
نمونه‌های سنگی منطقه گرمسار پس از حذف مواد فرار و تصحیح مقادیر نسبت $\text{Fe}_2\text{O}_3/\text{FeO}$

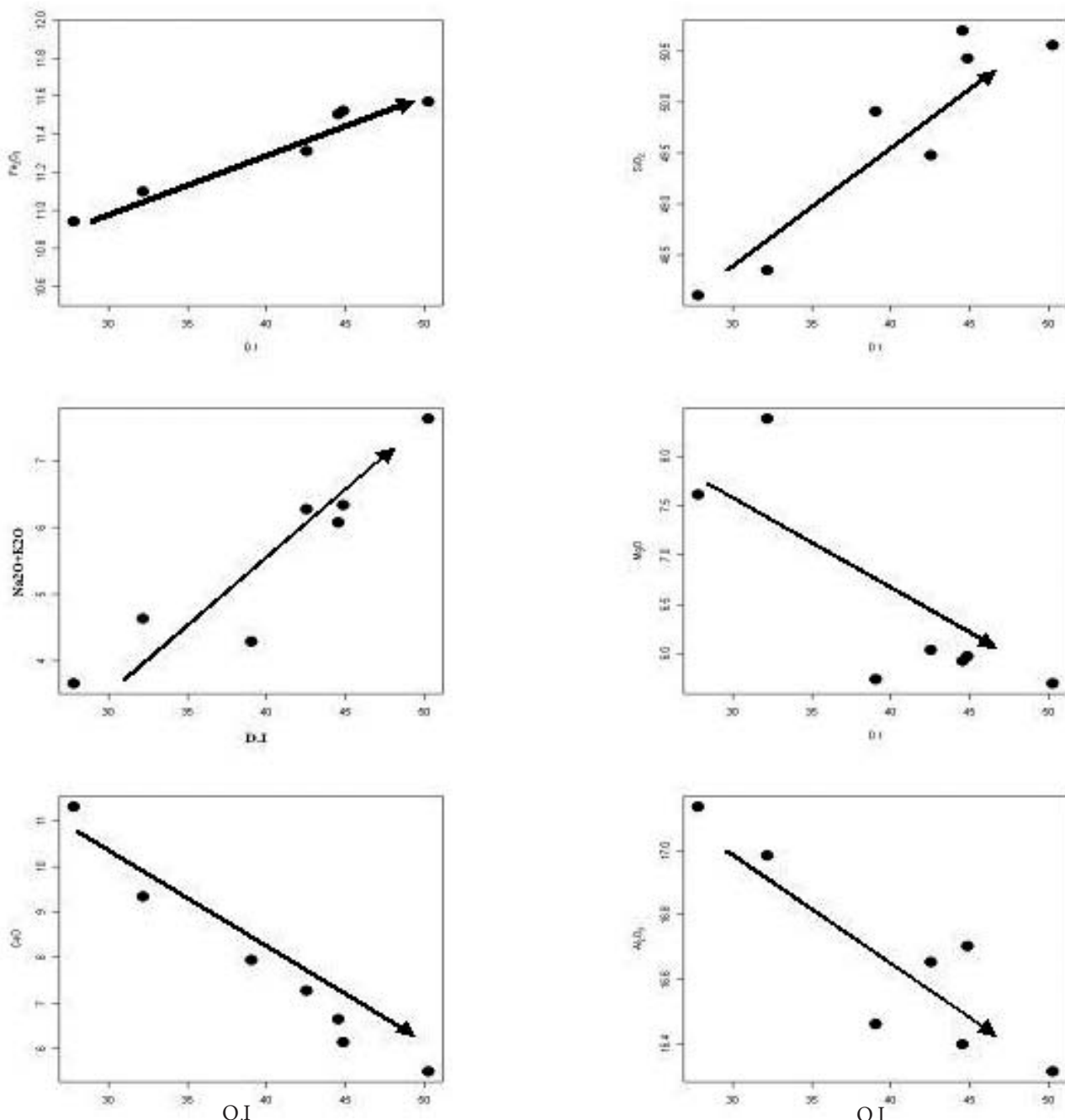
sample	G1	G2	G3	G4	G5	G6	G7
Major oxides(Wt%)							
SiO_2	48.11	48.35	49.48	49.91	50.43	50.56	50.70
TiO_2	0.87	0.84	1.64	1.72	1.66	1.53	1.58
Al_2O_3	17.14	16.99	16.65	16.46	16.70	16.31	16.40
FeOt	10.94	11.10	11.31	12.71	11.52	11.57	11.50
FeO	9.23	9.09	9.58	8.675	8.85	8.79	8.53
Fe_2O_3	1.85	1.82	2.12	2.60	2.65	2.64	2.99
MnO	0.19	0.21	0.38	0.22	0.33	0.24	0.24
MgO	7.61	8.38	6.04	5.74	5.97	5.70	5.92
CaO	11.30	9.34	7.27	7.95	6.14	5.50	6.65
Na_2O	2.41	1.90	1.42	3.17	1.25	1.77	1.83
K_2O	1.26	2.73	4.85	1.12	5.09	5.85	4.24
P_2O_5	0.19	0.17	0.95	1.00	0.91	0.96	0.93
Trace elements (ppm)							
Ba	123.5	160.5	723	449	528	817	887
Cs	0.44	0.49	0.12	0.28	0.17	0.35	0.28
Ga	14.2	14.1	16.1	16.5	16.5	17.1	15.7
Hf	1.3	1.3	3.7	3.8	3.9	4.3	3.9
Nb	2.5	2.7	22.6	22.8	24.3	24	24.5
Rb	23.2	39.3	37.3	9.3	33.5	51.7	24.3
Sr	555	728	974	701	1085	2100	1250
Ta	0.20	0.20	1.10	1.2	1.2	1.2	1.2
Th	1.5	1.46	1.5	1.6	1.78	1.77	1.74
U	0.51	0.44	0.48	0.57	0.59	0.61	0.56
V	259	253	182	189	173	171	166
Zr	44	44	165	166	176	193	179
Y	26.6	28.2	26.4	25.7	24.8	14.3	14.8
Co	36.9	38.2	22.1	26.2	25.2	26.4	25.2
Cr	130	140	70	100	80	90	90
Ni	42	42	28	37	31	28	31
Rare earth elements (ppm)							
La	8.6	8.9	37.6	39.3	39.1	42.2	39.7
Ce	19	19.6	81.8	82	83	86.9	85.8
Pr	2.83	2.74	10.55	10.45	10.8	11.05	11.2
Nd	12.1	12.1	40.4	41.3	42	42.7	42.8
Sm	3.08	2.92	7.21	7.87	8.08	8.13	8.12
Eu	0.98	0.97	2.4	2.2	2.35	2.29	2.33
Gd	3.09	3.01	6.65	7.22	7.48	7.19	7.57
Tb	0.52	0.51	0.99	1.08	1.1	1.14	1.08
Dy	2.97	2.82	4.96	5.26	5.53	5.64	5.37
Ho	0.62	0.61	1.01	1.04	1.06	1.12	1.06
Er	1.75	1.75	2.85	3.03	3.08	3.26	3.14
Tm	0.26	0.23	0.38	0.42	0.43	0.46	0.41
Yb	1.52	1.49	2.39	2.51	2.63	2.9	2.57
Lu	0.24	0.23	0.4	0.38	0.42	0.45	0.42
Sm/Yb	2.03	1.96	3.02	3.14	3.07	2.80	3.16



شکل ۵ موقعیت نمونه‌های گابرو و دیوریتی گرم‌ساز در، (الف) نمودار رده‌بندی شیمیایی (Cox et al. 1979)، (ب) نمودار رده‌بندی شیمیایی (De la Roche, 1980)، (ج) نمودار تعیین سری ماگمایی (Irvine and Baragar 1971)، (د) نمودار تعیین سری ماگمایی (Middlemost 1994)، (پ) طرح کلی نمودار هردو گروه سنگی تفریق نیافته‌تر است.

در مذاب‌ها، به احتمال زیاد می‌تواند ناشی از وجود گارنت در ناحیه منشأ مذاب باشد. همچنین، الگوی نسبتاً مسطح در تمامی نمونه‌ها دیده می‌شود، می‌تواند نقش گارنت را در طول ذوب بخشی یک منبع گوشه‌ای گارنت‌دار نشان دهد (Morata et al., 2005). نکته مهم دیگر در الگوی عناصر نادر خاکی نمونه‌ها، نبود ناهنجاری Eu می‌باشد که اساساً توسط پلازیوکلاز کنترل می‌شود و به فوگاسیته اکسیژن وابسته است. خروج فلدسپار در اثر تفریق بلوری در شرایط فوگاسیته پایین اکسیژن، باعث ایجاد ناهنجاری منفی Eu در مذاب باقیمانده می‌شود. پلازیوکلاز از کانی‌های اصلی و فراوان موجود در سنگ‌های گابرو و دیوریتی منطقه است و نبود ناهنجاری Eu، نشان می‌دهد که تفریق آن نقش چندانی در تحول ماگمای سنگ‌های نادر خاکی نداشته و یا این‌که بلور و تفریق این کانی در شرایط فشار پایین رخ داده است. در نمودار چند عنصری (عنکبوتی) به‌هنجار شده به کندریت (Thompson, 1982) نیز: (الف) تمامی نمونه‌های نفوذی

بررسی به طور نسبی از عناصر نادر خاکی سبک (LREEs) غنی‌شدنگی و از عناصر نادر خاکی سنگین (HREEs)، تهی شدنگی نشان می‌دهند (شکل ۹). (ب) میزان نسبت تمامی این عناصر در نمونه‌های تفریقی تا ده برابر بیشتر از مقادیر آن‌ها در نمونه‌های تفریق نیافته‌تر است. (پ) طرح کلی نمودار هردو گروه سنگی تفریق نیافته و تفریق نیافته به موازات همدیگر است. (ت) شب نمودارهای نمونه‌های تفریق یافته (یعنی نسبت LREEs/HREEs) بیشتر از شب نمودارهای ترکیبات اولیه است. تمامی این ویژگی‌ها حاکی از منشأ تفریقی نمونه‌ها و اشتراق آن‌ها از یک منبع ماگمایی بازیک‌تر سازنده گابروها می‌باشد. زیرا عناصر نادر خاکی سبک نسبت به فازهای تبلور یافته اولیه (نظیر الیوین، منیتیت، کلینوپیروکسن، پلازیوکلاز و ...) ناساز گارند و در خلال تفریق، به طور فرایندهای در مایعات باقیمانده تحول یافته‌تر متمرکز می‌شوند. به علاوه، تهی شدنگی نسبی عناصر نادر خاکی سنگین (HREEs) نسبت به عناصر نادر خاکی سبک (LREEs)



شکل ۶ موقعیت نمونه‌های گابرودیوریتی منطقه گرم‌ساز در نمودارهای تغییرات عناصر اصلی در برابر ضریب تفریق (Thornton and Tattle, 1960)

موقعیت نمونه‌ها در نمودار چندعنصری بهنجار شده به گوشه‌تهی (Sun and McDonough, 1989) نیز ضمن تأیید تمامی ویژگی‌های ذکر شده در نمودار شکل ۱۰، نابهنهنجاری مثبت از عناصر لیتوفیل بزرگ یون و نابهنهنجاری منفی Nb را که می‌تواند ناشی از آلایش پوسته‌ای ماقما باشند، در تمام نمونه‌ها نشان می‌دهد (شکل ۱۱).

در خصوص نابهنهنجاری مثبت Sr در سنگ‌های آذرین منطقه می‌توان به ذوب پلازیوکلاز موجود در ناحیه منشأ ماقما (مثلاً پلازیوکلاز- اسپینل لرزولیت) (Defant and Drummond, 1990) و یا به حضور فراوان پلازیوکلاز در این سنگ‌ها اشاره

منطقه گرم‌ساز از LREEs و عناصر لیتوفیل بزرگ یون (LILs) غنی‌شدگی و از HREEs تهی‌شدگی نشان می‌دهند و طرح نمودار هردو گروه سنگی نیز به موازات هم‌دیگر است (شکل ۱۰)، (ب) نمونه‌های تفریق‌یافته در مقایسه با نمونه‌های اولیه، درمجموع از تمامی عناصر نادر خاکی غنی‌ترند، (پ) در هردو سری سنگی، غنی‌شدگی از Ba، Rb و Sr دیده می‌شود، (ت) نمونه‌های گابرودی از Nb و Ta تهی‌شدگی شدید و از Zr تهی‌شدگی ناچیز دارند ولی از Ti و P هیچ‌گونه تهی‌شدگی نشان نمی‌دهند، (ث) نمونه‌های تفریق‌یافته از هیچ‌کدام از عناصر P و Nb، Ta، Zr، P دیده می‌شوند. تهی‌شدگی شاخصی ندارند.